

統計的不均一性を有する弾性基礎上の板の信頼性解析

鳥取県立 正員 ○ 福良 貞美
 鳥取大学工学部 正員 白木 渡
 鳥取大学工学部 正員 高岡 宣善

1. まえがき 統計的不均一性を有する弾性基礎上の無限鋼板の信頼性解析を多変数不規則関数論を用いて行った。弾性基礎の持つ不均一性の主たる要因を反力係数の不均一性にあると考え、その不均一性が基礎上の無限鋼板のたわみおよび曲げモーメントへ及ぼす影響を、それらの統計的特性値および破壊確率を求めることによって明らかにした。ここでは反力係数を正規定常不規則関数とし、反力係数が2点間の距離のみに依存し方向に無関係みなせるような相関関数を有する一様等方不規則関数の場合と、方向性を有する2変数不規則関数の場合を考え、それぞれの場合について、鋼板のたわみおよび曲げモーメントの標準偏差の比較を行った。また反力係数の変動係数の鋼板の破壊確率に及ぼす影響および固有波数の変化と破壊確率の関係についても考察した。

2. スペクトル法による統計的特性値の解析 板の基礎微分方程式は、中立面のたわみを $w(x, y)$ として次式となる：

$$D \nabla^4 w(x, y) + C(x, y) \cdot w(x, y) = f(x, y). \quad (1)$$

上式中、 D ：曲げ剛さ、 $\nabla^4 = \frac{\partial^2}{\partial x^4} + 2 \frac{\partial^2}{\partial x^2 \partial y^2} + \frac{\partial^2}{\partial y^4}$ 、 $C(x, y)$ ：反力係数、 $f(x, y)$ ：分布荷重。 $C(x, y)$ および $f(x, y)$ とも定常でエルゴード性を有する不規則関数であると仮定する。式(1)の解を求めるために微小パラメータの方法を適用する。¹⁾ C_0 、 f_0 をそれぞれの平均値とし、 $f(x, y) = f_0 + \varepsilon f_1(x, y)$ 、 $C(x, y) = C_0 + \varepsilon C_1(x, y)$ 、 $w(x, y) = \varepsilon w_1(x, y) + \varepsilon^2 w_2(x, y) + \dots$ 、について微小パラメータの同べき次数についてまとめると次式となる：

$$D \nabla^4 w_0(x, y) + C_0 w_0(x, y) = f_0, \quad (2-1) \quad D \nabla^4 w_1(x, y) + C_0 w_1(x, y) = f_1(x, y) - w_0(x, y) C_1(x, y), \quad (2-2)$$

$$D \nabla^4 w_2(x, y) + C_0 w_2(x, y) = -C_1(x, y) w_1(x, y), \quad (2-3) \quad \dots$$

式(2-1)の解で無限遠有界なものの $w_0(x, y) = \frac{f_0}{C_0}$ を考慮し、 ε^2 以上の高次の項を無視すれば、問題は次式

$$D \nabla^4 w_1(x, y) + C_0 w_1(x, y) = r(x, y), \quad (3) \quad r(x, y) \equiv \frac{1}{C_0} \{ C_0 f_1(x, y) - f_0 C_1(x, y) \}. \quad (4)$$

を解くことになり元される。式(3)で示される系の伝達関数 $F(i\omega_1, i\omega_2)$ は次式で与えられる：

$$F(i\omega_1, i\omega_2) = \frac{1}{D \{ (\omega_1^2 + \omega_2^2)^2 + \omega_0^4 \}}, \quad \omega_0 = \left(\frac{C_0}{D} \right)^{1/4} : \text{固有波数}. \quad (5)$$

そうすると、不規則関数 $r(x, y)$ のスペクトル密度 $S_r(\omega_1, \omega_2)$ が与えられれば、たわみおよび曲げモーメントのスペクトル密度 $S_{w_1}(\omega_1, \omega_2)$ 、 $S_{M_x}(\omega_1, \omega_2)$ は、次式で求められる：

$$S_{w_1}(\omega_1, \omega_2) = \frac{1}{D^2 \{ (\omega_1^2 + \omega_2^2)^2 + \omega_0^4 \}^2} \cdot S_r(\omega_1, \omega_2), \quad S_{M_x}(\omega_1, \omega_2) = \frac{\omega_1^4 + \omega_2^4}{\{ (\omega_1^2 + \omega_2^2)^2 + \omega_0^4 \}^2} \cdot S_r(\omega_1, \omega_2). \quad (6)$$

不規則関数 $r(x, y)$ の最も重要な要因は反力係数であり、分布荷重 $f(x, y)$ による不規則性の影響を無視すれば、 $r(x, y)$ のスペクトル密度は $S_r(\omega_1, \omega_2) = \left(\frac{f_0}{C_0} \right)^2 \cdot S_{C_1}(\omega_1, \omega_2)$ となる。ここに $S_{C_1}(\omega_1, \omega_2)$ は反力係数のスペクトル密度である。 $r(x, y)$ が、すなわち $C_1(x, y)$ が一様等方不規則関数のときには、式(6)において $\omega_1 = \omega \cos \theta$ 、 $\omega_2 = \omega \sin \theta$ の変数変換を行い、次のようになる：

$$S_{w_1}(\omega) = \frac{\omega}{D^2 (\omega^4 + \omega_0^4)^2} \cdot S_r(\omega), \quad S_{M_x}(\omega, \theta) = \frac{\omega^5}{(\omega^4 + \omega_0^4)^2} (\omega \cos^4 \theta + \omega \sin^4 \theta) \cdot S_r(\omega). \quad (7)$$

上式中、 $S_r(\omega)$ は、 $r(x, y)$ の相關関数 $K_r(\xi)$ より次式で計算される：

$$S_r(\omega) = \frac{1}{2\pi} \int_0^\infty K_r(\xi) \cdot J_0(\omega \xi) \xi d\xi, \quad J_0(\omega \xi) : 0 \text{ 次ベッセル関数}. \quad (8)$$

反力係数 $C_1(x)$ の相關関数は次式で与えられるものとする： $K_{C_1}(\xi) = G_c^2 \exp(-d|\xi|) \cos \beta \xi$. ⁽⁹⁾

ここに、 G_c は反力係数の標準偏差であり、 d 、 β は実験的に定められるパラメータである。二変数不規則関数の場合には、次式を用いる：²⁾ $K_{C_1}(\xi_1, \xi_2) = G_c^2 \exp\left(-\frac{\xi_1^2}{G_x^2} - \frac{\xi_2^2}{G_y^2}\right)$ 、 $\delta x, \delta y : x, y$ 方向の相關距離。 ⁽¹⁰⁾

一様等方性が考えられるときには、 $\delta_x = \delta_y = \delta$ として、 $\xi^2 = \xi_x^2 + \xi_y^2$ を考慮し、 $K_{\xi}(\xi) = G_c^2 \exp(-\frac{\xi^2}{G_c^2})$ 式(9)とから計算される相間距離を相等しくすることにより、実験データから β から δ を決定する。式(9), (10)の相関距離が逆 Fourier 変換により、不規則関数 $f(x)$ および $r(x, y)$ のスペクトル密度が決定される：

$$S_r(\omega) = \left(\frac{g_0}{c_0}\right)^2 \cdot \frac{1}{4\pi} \cdot \frac{1}{(p^2 + 4\alpha^2 \beta^2)^{3/2}} \cdot \sqrt{2\{(d^2 - \beta^2)(p^2 - 12pd^2\beta^2) - 16d^4\beta^4 + 12p^2d^2\beta^2 + (d^2 + \beta^2)(p^2 + 4d^2\beta^2)\}^{3/2}}, \quad (11)$$

上式中、 $p = \alpha^2 + \omega^2 - \beta^2$ である。

$$S_r(\omega_1, \omega_2) = \left(\frac{g_0}{c_0}\right)^2 \cdot \frac{G_c^2}{4\pi} \cdot \delta_x \cdot \delta_y \cdot \exp\left(-\frac{\delta_x^2}{4} \cdot \omega_1^2\right) \cdot \exp\left(-\frac{\delta_y^2}{4} \cdot \omega_2^2\right). \quad (12)$$

3. 破壊確率の算定式 一般に二変数正規分布不規則関数 $r(x, y)$ による平面 $x=0$ 上の単位面積当たりのレベル α の超過確率は、次式で示される：

$$P_g^+(a|x, y) = - \int_0^\infty \int_{-\infty}^\infty f(\zeta_x, \zeta_y, \zeta_{xx}, \zeta_{yy}) \zeta_y \zeta_{xx} d\zeta_y d\zeta_{xx}. \quad (13)$$

$\zeta_x = \frac{\partial \zeta}{\partial x}$, $\zeta_y = \frac{\partial \zeta}{\partial y}$, $\zeta_{xx} = \frac{\partial^2 \zeta}{\partial x^2}$ であり、 $f(\zeta_x, \zeta_y, \zeta_{xx}, \zeta_{yy})$ はこれらの同時確率密度で $f(a, \zeta_x, \zeta_y, \zeta_{xx})$ である。 $\zeta_x, \zeta_y, \zeta_{xx}$ も正規であるから、 $\zeta_1 = \zeta_x, \zeta_2 = \zeta_y, \zeta_3 = \zeta_{yy}, \zeta_4 = \zeta_{xx}$ とおくと同時確率密度は次式となる： $f(\zeta_1, \zeta_2, \zeta_3, \zeta_4) = \frac{1}{4\pi^2 \Delta} \exp\left(-\frac{1}{2\Delta} \sum_{j=1}^4 A_{jk} \zeta_j^2\right)$ 。

上式中、 Δ は相間行列の要素 R_{jk} で作られる行列式であり、 A_{jk} は R_{jk} に対する余因数である。式(13)に代入して積分を行うと、次式となる：

$$P_g^+(a|x, y) = \frac{a}{2\pi\sqrt{2\pi}} \cdot \frac{1}{R_{11}} \cdot \sqrt{\frac{R_{22}R_{33} - R_{23}^2}{R_{11}}} \cdot \exp\left(-\frac{a^2}{2R_{11}}\right). \quad (14)$$

式(14)は超過確率密度を表わし、同時に単位面積当たりの平均超過回数に等しい。レベル α は十分高く取られるこから超過の回数は、Poisson 分布で近似できる。したがって面積 S 内で1回も超過が生じない確率は $\exp\{-P_g^+(a|x, y) \cdot S\}$ となり、破壊確率は次式となる：

$$Q_g = 1 - \exp\{-2 \cdot P_g^+(a|x, y) \cdot S\}. \quad (15)$$

4. 数値計算例および考察

	C_0 [ton/m]	G_c [%]	δ [m]	p [m]	δ [m]	g_0 [ton/m ²]
DATA(I)	626.5	206.3	2.75	3.65	0.2818	6.265
DATA(II)	1000.0	300.0	0.05	0.10	14.9053	10.0

は曲げモーメントの場合について、 ω_0 を横軸に、標準偏差 ζ_{Mx} を表わしたものである。2つのデータを用いた解法の違いによる定性的な傾向は同じである。図-3は、横軸に反力係数の変動係数 V_c を取り、データから計算される ζ_{Mx} をLEVEL=1として1~5倍までを10倍メータとして表わしたものである。レベルが高いほど、DATA(I)を用いるほど、 V_c の変化が Q_{Mx} に大きく現われている。図-4は ω_0 と Q_{Mx} の関係を示したもので、 $\rho = \frac{a}{\sqrt{R_{11}}}$ を横軸に取っている。 ω_0 の変化に伴う Q_{Mx} の増加率の違いがわかる。

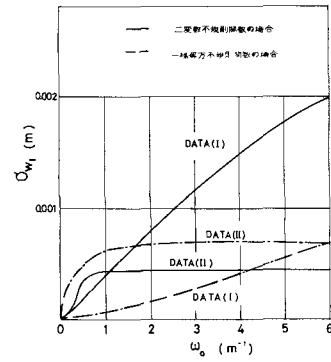


図-1

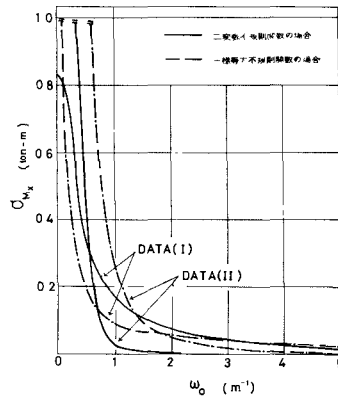


図-2

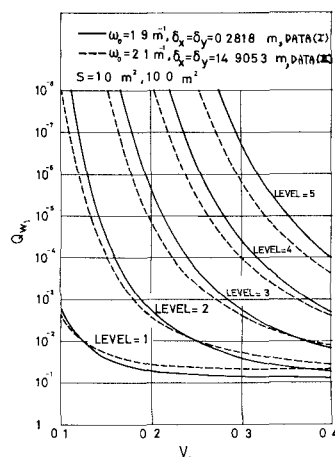


図-3

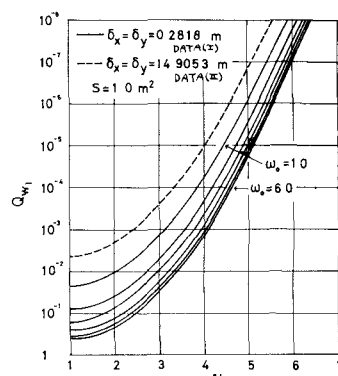


図-4

- 1) Д.Н.Соболев, Б.Л.Фархадов, В.И.Шейнин: К расчету по логистической статистике неоднородного основания. «СМРС», №3, 1968.
- 2) J. Marta Catalan, C.A. Cornell: Earth Slope Reliability by a Level-Crossing Method. Jour. of the G.E.Div., ASCE, Vol. 102, 1976-6.
- 3) А.А.Свешников: Прикладные методы теории случайных функций, Издательство «Наука», Москва (1968).